

# 关于提高X射线探伤灵敏度的探讨

三五三三厂张鸿发

## 摘要

本文以焊缝探伤为例，对X射线探伤中的电压、焦距、底片黑度，角度诸种参数以及工件厚度对灵敏度的影响进行了综合分析，并对一些参数的选择进行了讨论。

## 一、概述

X射线探伤灵敏度有绝对灵敏度和相对灵敏度之分。绝对灵敏度是指在X射线底片上所能发现的工件中沿射线穿透方向上的最小缺陷尺寸，相对灵敏度是指该缺陷的尺寸占被透照工件厚度的百分比。通常所说的灵敏度一般指相对灵敏度。百分比越小，灵敏度越高，检测细小缺陷的能力越大。

灵敏度计算式为：

$$K = S/A \cdot 100\% \quad (1)$$

公式(1)仅是理论上的计算方法，实际上S不易测量，因此一般不作这样计算。在通常情况下是用透度计来确定灵敏度。透度计有槽式和金属丝两种，后者较前者能更灵敏地反映底片质量的变化，使用方便。本文采用金属丝透度计，如图2所示。这种透度计是由一组不同直径的金属丝(7根，10根)平行地排在粘紧着的两块橡皮板或塑料板之间而构成。金

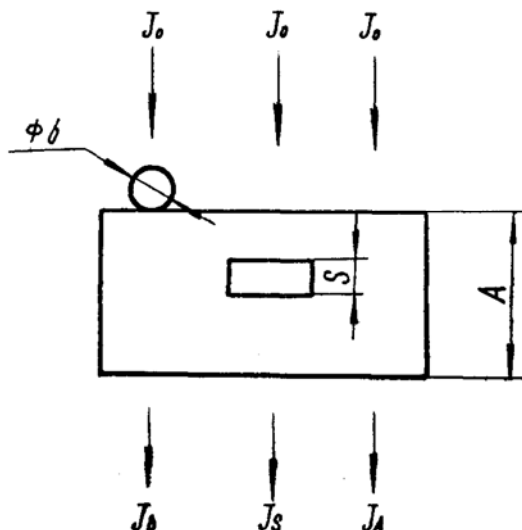


图1 灵敏度计算示意图

- A: 工件厚度,  
S: 缺陷厚度,  
b: 透度计金属丝直径,  
J<sub>0</sub>: X射线初始强度,  
J<sub>A</sub>: X射线透过工件A后的强度,  
J<sub>S</sub>: X射线透过S后的强度,  
J<sub>b</sub>: X射线透过金属丝b和工件A后的强度。

属丝的材料和被透照工件材料相同或基本相同。透照时，把透度计放在被透照工件上。此时灵敏度计算式是：

$$K = b/A \cdot 100\% \quad (2)$$

式中，b：在底片上可见的最小直径的金属丝，  
A：工件沿射线透照方向的厚度。

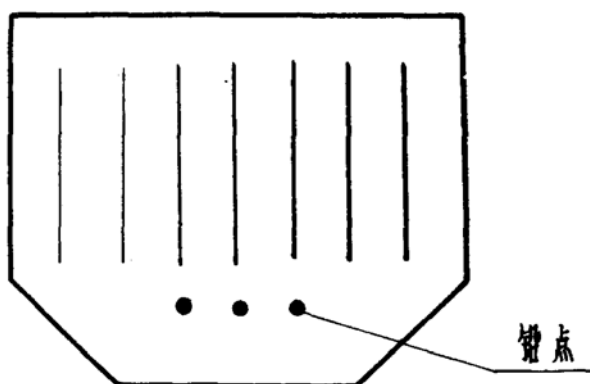


图2 金属丝透度计

透度计所显示的灵敏度并不一定代表真正能发现缺陷的灵敏度，例如对被透照工件内部气孔来说，它的直径要有最细金属丝三倍大时，才能被检查出来〔2〕。用透度计来决定灵敏度，虽说是一种近似的方法，但在实际工作中有它很大用处。如果决定了用透度计时所要达到的灵敏度，我们就可以判断底片质量，并可作为改进透照技术和工作条件的依据。

## 二、灵敏度公式推导

射线在工件A中的衰减方程式为：

$$J_A = J_0 e^{-\mu A} \quad (3)$$

此处 $J_0$ 我们假设为一束单色的x射线初始强度， $\mu$ 是线衰减系数（厘米<sup>-1</sup>）。

(3)式两边取自然对数，得：

$$\begin{aligned} \ln J_A &= \ln J_0 - \mu A \\ A &= \frac{\ln J_0 - \ln J_A}{\mu} \end{aligned} \quad (4)$$

同理：

$$A + b = \frac{\ln J_0 - \ln J_b}{\mu} \quad (5)$$

(5)式减(4)式，得：

$$b = \frac{\ln J_A - \ln J_b}{\mu} \quad (6)$$

$$\begin{aligned} &= \frac{2.3(\log J_A - \log J_b)}{\mu} \\ &= \frac{2.3(\log J_A t - \log J_b t)}{\mu} \end{aligned} \quad (7)$$

在图3中，r为底片的衬度系数。

$$r = \operatorname{tag} Q = \frac{D_2 - D_1}{\log E_2 - \log E_1} = \frac{D_A - D_b}{\log J_A t - \log J_b t}$$

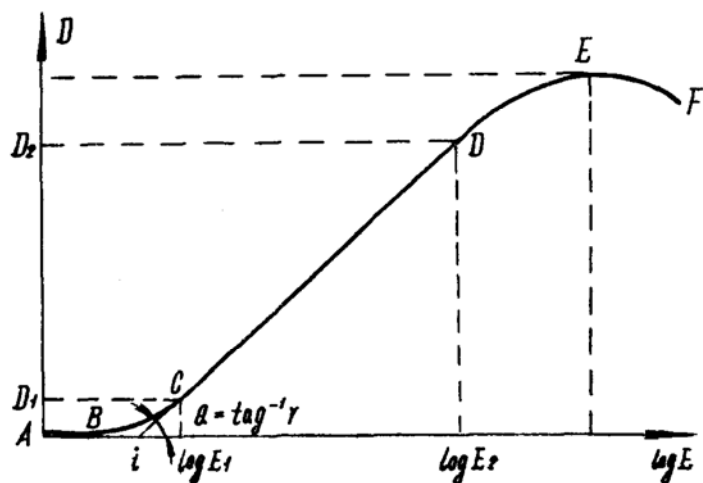


图3 胶片特性曲线

$$\log J_A t - \log J_b t = \frac{D_A - D_b}{r} \quad (8)$$

式(7)和式(8)中的t为曝光时间,式(8)中的E为曝光量, $E = J \cdot t$ , $D_A$ 为x射线透过工件A后使底片达到的黑度, $D_b$ 为x射线透过透度计b和工件A后使底片达到的黑度, $D_A$ 、 $D_b$ 须在 $D_1$ 与 $D_2$ 之内,即在特性曲线性段内。

(8)式代入(7)式,得:

$$b = \frac{2.3(D_A - D_b)}{r\mu} \quad (9)$$

(9)式代入(2)式,得

$$K = \frac{2.3(D_A - D_b)}{r\mu A} \cdot 100\% \quad (10)$$

底片上肉眼能感觉到的最小的黑度差(即最小对比度)约为0.02(3)。由此我们设 $D_A - D_b = 0.02$ ,故(10)式为:

$$\begin{aligned} K &= \frac{2.3 \cdot 0.02}{r\mu A} \cdot 100\% \\ &= \frac{4.6}{r\mu A}\% \end{aligned} \quad (11)$$

公式(11)仅作理论分析之用,实际计算灵敏度时采用(2)式。普通x射线机产生的射线并非单色的,它是由多种波长的射线所组成的,故(11)式是近似公式。

### 三、电压的选择

由(11)式可知:若要K小,则当r和A一定时, $\mu$ 必须大。电压与 $\mu$ 成反比,电压高, $\mu$ 小,反之 $\mu$ 大,这一结论可以从曝光曲线上一目了然。

曝光曲线方程式的推导:

$$J_A = J_O e^{-\mu A} \quad (3)$$

(3)式两边取自然对数,得:

$$\ln J_O = \mu A + \ln J_A \quad (12)$$

(12)式两边各加 $\ln t$ ,t为曝光时间,得:

$$\begin{aligned} \ln J_O + \ln t &= \mu A + \ln J_A + \ln t \\ \ln J_O t &= \mu A + \ln J_A t \end{aligned} \quad (13)$$

$J_A t$ 是曝光量,它是胶片黑化的决定因素,制作曝光曲线时底片黑度是一定的,所以 $J_A t$ 应当是常数C。因此(13)式可写成:

$$\ln J_O t = \mu A + C \quad (14)$$

(14)式与直线方程式 $y = kx + b$ 相似,k是斜率。

图4为我厂GTY-200-20型x射线机的曝光曲线表,显然可见:随着电压的升高,直线斜率依次降低。110千伏时 $\mu$ 最大,190千伏时 $\mu$ 最小。

由此我们得知:要提高灵敏度,应当采用管电压较低的软射线对工件进行探伤。

但是,我们也应该注意到射线的强度与管电压有关,即:

$$J = k \frac{ZIV^2}{F^2} \quad (15)$$

式中， $k$ ：常数，与仪器和度量单位有关， $Z$ ：x射线管阳极材料原子序数， $I$ ：管电流， $V$ ：管电压， $F$ ：焦距。

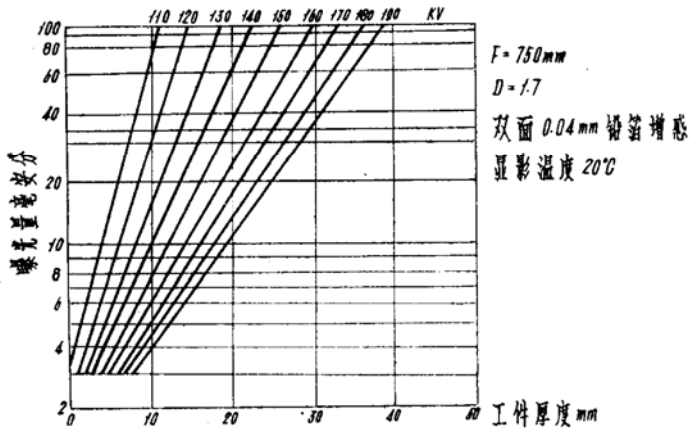


图4 GTY-200-20型x射线机曝光曲线表

由(15)式可见：射线强度 $J$ 和电压 $V^2$ 成正比， $V$ 降低后，在焦距 $F$ 不变的情况下，射线强度 $J$ 大大降低，由此曝光量 $E$ 也大大降低。为了使 $E$ 保持不变，就要加大管电流 $I$ 和加长曝光时间 $t$ 。我们知道软射线和长时间的曝光又会带来散射线对底片的影响较大。当工件是铁及射线波长 $\lambda > 0.2 \text{ Å}$ 时，散射系数 $\sigma$ 与  $Z^m \lambda^n$ 成正比，其中  $1 < m < 2$   $1 < n < 3$ (1)。射线束的最短波长  $\lambda_0 = \frac{12.42}{V} \text{ Å}$ ，最大强度的波长  $\lambda_{\max} \approx 1.5\lambda_0$ ，可以认为平均波长 $\lambda$ 与  $\lambda_{\max}$  相等(5)，因此  $\lambda = 1.5\lambda_0 = \frac{18.63}{V} \text{ Å}$ ，当  $\lambda = 0.2 \text{ Å}$  时， $V = 93 \text{ KV}$ 。如果所取电压低于临界电压(即刚能穿透工件的电压)，则胶片将不会感光。

所以，x射线管电压的选择原则是：适当选取低电压，大电流、短时间曝光。

#### 四、焦距的选择

焦距应根据几何不清晰度 $U_g$ 的要求来选择。 $U_g$ 又称半影区。

在图5中、几何不清晰度为：

$$U_g = \frac{T \cdot d}{F - T}$$

$U_g$ 一般规定在0.2~0.4毫米之间。 $U_g$ 越小，底片清晰度越好。

式中， $F$ ：射线源至胶片距离， $T$ ：工件表面至胶片距离， $d$ ：射线源的有效直径。

对x射线机来说 $d$ 是固定的， $U_g$ 主要决定于 $F$ 和 $T$ ，显然加大 $F$ ，会使 $U_g$ 减小。

各种胶片本身具有一定粒度，它们限制了底片的分辨力，这个因素称为内在不清晰度 $U_f$ ，当 $U_g$ 小于 $U_f$ 时， $U_g$ 在底片的分辨力中即不起主要作用，因此希望采用过大焦距来提高清晰度是毫无意义的，往往是适得其反。细粒度胶片 $U_f$ 较小。 $U_f$ 还与管电压有关，电压越高，

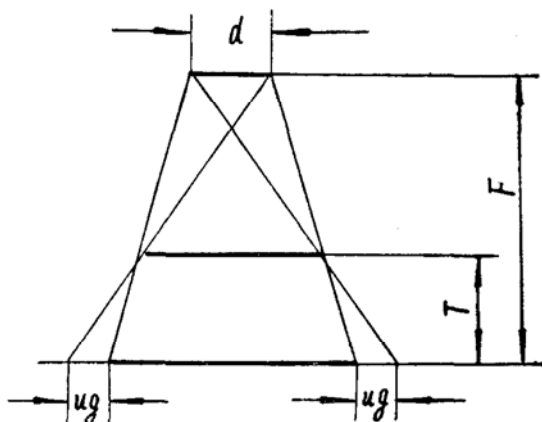


图 5 几何不清晰度

$U_f$  越大。使用金属箔增减，细粒度胶片，当电压  $< 100\text{KV}$  时， $U_f \approx 0.1 \sim 0.2$  毫米，电压为  $100 \sim 300\text{KV}$  时， $U_f \approx 0.15 \sim 0.25$  毫米<sup>[6]</sup>。

由(15)式可知  $J$  与  $F^2$  成反比， $F$  加大， $J$  大大降低，为了使  $E$  保持不变，必定要提高电压和加长曝光时间，由前文分析可知：电压增高， $U_f$  增大， $\mu$  减小；时间加长，散射线影响增大，灵敏度降低。

焦距太小，会使  $U_g$  增大。

选择  $U_g = U_f$  来计算焦距比较合适，最小焦距由下式计算出：

$$U_f = \frac{T \cdot d}{F_{\min} - T}$$

在通常情况下，采用  $70\text{cm}$  左右的焦距是合适的<sup>[4]</sup>。

## 五、底片黑度的选择

底片黑度在各种标准和文献中：有的规定  $1.2 \sim 1.5$ <sup>[8]</sup>， $0.7 \sim 1.2$ <sup>[9]</sup>，有的介绍  $1.3 \sim 3.0$ <sup>[4]</sup>， $2.0 \sim 2.5$ <sup>[10]</sup>。目前国外底片黑度标准高于国内。

根据(11)式，当  $\mu$  和  $A$  一定时， $r$  与  $K$  成反比， $r$  大、灵敏度高。

底片黑度增加，它的衬度系数  $r$  也增大、但至一定程度时， $r$  值反而下降<sup>[5]</sup>。

增加底片黑度的方法有二，第一：适当增加显影时间，则在同一曝光量下，底片黑度增加，第二：适当增加曝光量  $E$ ，则在正常显影规范下，底片黑度增加。

我们曾做过试验，验证了底片黑度值增大灵敏度增高的结论是正确的。我厂某一种工件曾出现过批次性焊接裂纹。我们对其中一个工件，在同一部位，用同一曝光规范透照了 3 张胶片，第一张显影 2 分钟，黑度 0.8，第二张显影 3 分钟，黑度 1.2，第三张显影 5 分钟，黑度 1.6，结果：第一张无裂纹印象，第二张部分裂纹可见，第三张裂纹全部显现。

我厂底片黑度标准在  $1.2 \sim 1.8$  之间，对易出现裂纹的工件，底片黑度可大于 1.8。

## 六、角度的选择

上面我们已指出，透度计所显示的灵敏度并不一定代表真正能发现缺陷的灵敏度。有时底片上透度计灵敏度已经达到工艺要求，但是漏检现象还是存在，这固然有多种原因，而角度选择不当可能是主要原因。

在一般情况下，缺陷显现程度随着它们与射线束方向的相对位置不同而大不相同。

缺陷与射线方向一致时，显现度好，如图 6(a)，此时射线通过全长， $S$  大，当缺陷位置与射线方向成某一角度时，显现度就差些，如图 6(b)、(c)，此时射线仅通过一部分， $S$  小。当  $S$  很小时，工件中有缺陷和无缺陷处的黑度差  $\Delta D < 0.02$  时，在底片上就看不到缺陷的投影，例如夹层，破裂面与射线束夹角较大的裂纹等缺陷就属于此类。裂纹当其开裂宽度太小时，即使射线束通过全长， $S$  较大，缺陷还是显现不出，其最小值是  $0.03\text{mm}$ <sup>[7][8]</sup>。射线束方向与破裂面平行或其夹角小于  $15^\circ$ <sup>[8]</sup> 或  $10^\circ$ <sup>[7]</sup> 时，该裂纹易于发现。

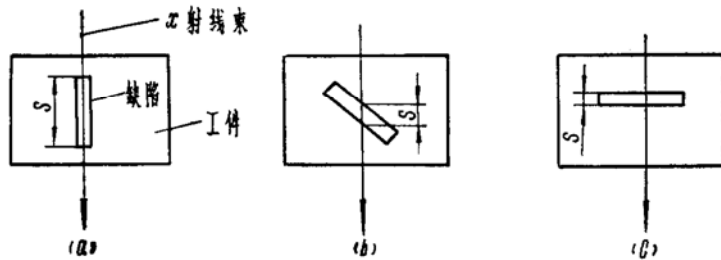


图 6 缺陷显现程度与射线束相对位置的关系

让我们用试验来验证。我厂某种工件由于焊接工艺改变，致使  $\times$  射线照原工艺角度  $45^\circ$  检查时、造成批次性漏检。该批产品在进行气密性试验时，有两台产品接连发生前所未有的爆破事故，事后分析确认是严重的裂纹所致。检查全批次  $\times$  射线底片，仅发现爆破的两台产品底片上有非常模糊的裂纹印象。为此我们进行了角度试验，如图 7 所示。试验结论  $10^\circ$  角能清晰地显现裂纹。随后进行了全面复查，55 台产品中发现 19 台有不同程度的裂纹存在，最严重的一台裂纹断续总长 185 毫米，将其做金相试验，没有发现漏检。接着又复查了 94 台出厂产品，发现 24 台有不同程度的裂纹存在。鉴于这种情况，焊接工艺改回原工艺。几个批次之后，该种工件又出现批次性裂纹。有几个工件表面已发现裂纹，在射线底片却不见裂纹印象，是否又是角度问题？为此我们又一次做了上述试验，并且采取了一些措施，力求提高灵敏度，但是，试验结论是否定的。后来金相试验表明，裂纹宽度很小，一般在 0.02 毫米左右，而且近焊缝表面，有的已穿透到表面。针对这种情况，决定采用磁粉探伤，一共探了 70 只，发现近半数有裂纹， $\times$  射线探伤仅发现其中 11 只。

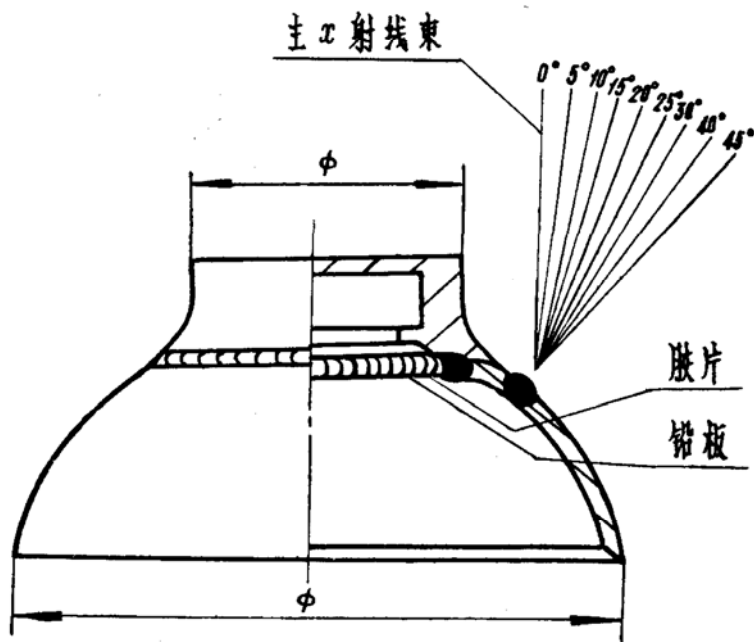


图 7 透照角度试验示意图

我们的试验证明了上述理论分析和文献介绍的情况是正确的。

因此，对裂纹之类的缺陷必须注意透照角度的选择，细小裂纹即使角度正确，也可能漏检，应采用综合探伤。

## 七、工件厚度对灵敏度的影响

(11) 式表明在 $r$ 和 $\mu$ 不变的情况下，灵敏度与工件厚度成正比，这个结论在一定厚度范围内是正确的。

以钢为例灵敏度与厚度关系如表1<sup>[5]</sup>。

表 1

工件厚度(毫米)	5	10	20	50	100
灵敏度%	3.5	2.5	1.5	2.0	2.5

灵敏度起先是随着厚度的增加而增高，20毫米之后又递减。

之所以出现这种情况，其原因在于 $X$ 射线通过工件时，将与工件内部质点作用，则一次射线束在被吸收的同时将发生散射（相干和不相干散射），由此产生的散射线方向很不定，都可以使胶片感光，使底片增加额外的黑度，降低了底片的反差和清晰度，使细小缺陷难以判断，甚至无法判断，灵敏度降低。散射线就象电子仪器里的噪声，它的存在使小讯号淹没，使讯噪比降低。工件越厚，射线与质点碰撞机会就越多，散射就越严重。图8说明薄工件散射线少，厚工件散射线多。又由于随工件厚度增加，电压要随之提高， $\mu$ 随之下降。

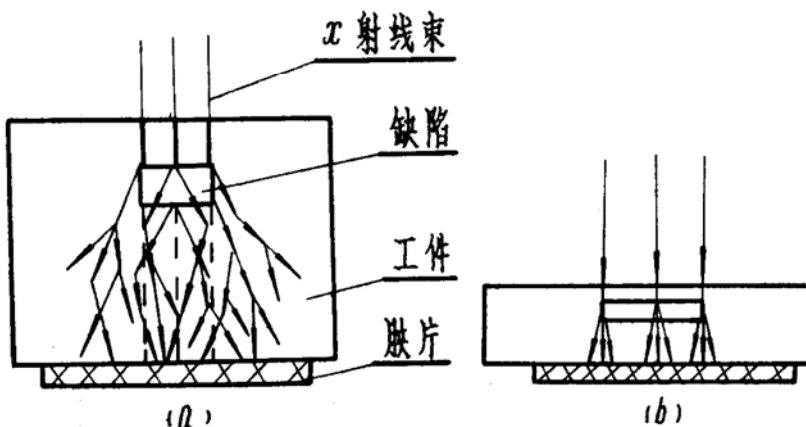


图8 散射对底片清晰度影响

- (a) 透照厚工件时清晰度由于散射而降低；  
(b) 透照薄工件时清晰度增高。

总之，工件不太厚时、由于散射现象还不太严重，电压还不太高，灵敏度尚能随工件厚度增加而提高。随着工件厚度逐渐增大，散射现象随之逐渐严重，电压也随之逐渐提高，由此造成灵敏度随工件厚度增加而下降。在透照变截面工件时，我们要注意到这种现象。

## 参 考 文 献

- (1) 许顺生：“金属X射线学”，上海科学技术出版社，1962年。
- (2) 关云隆主编：“无损检验”，国防工业出版社，1973年。
- (3) B·C·索柯洛夫着、卢鼐、赵冠生译，“材料探伤法”，中国工业出版社，1963年。
- (4) 郑州机械科学研究所：“国外焊接技术资料、焊接检测与质量控制(二)”，1975年。
- (5) 马铭刚：“焊缝x线检验”，机械工业出版社，1958年。
- (6) 李方瑛等：“汽轮机叶片焊缝的x射线探伤”，无损检测，1982年第二期。
- (7) 余宗德：“射线检测的现状及发展动态”，交流资料，1980年。
- (8) “x射线检验说明书Q/6SZ 121-79”。
- (9) “焊缝射线探伤标准JB928-67”。
- (10) “1978年赴日无损检验考察”，技术资料，1979年。
- (11) 3533厂：“固体发动机焊接接头无损探伤情况简介”，导弹技术，无损检测专集，1980年。